

底泥巻き上げ時の表層硬化現象の理論的考察

九州大学工学部の楠田 勝也 二瀬 了

栗谷 陽一

岩手大学工学部 海田 輝之

1. まえがき

底泥の巻き上げ速度の決定機構の解明は、底泥の巻き上げ速度の算定式を求めるうえで欠かせないものである。底泥の巻き上げ速度は底泥が表層から順次巻き上げられていく場合、剪断応力と底泥粒子のそれに抗する強度との関係によりほぼ定められる。既存の巻き上げ速度の算定式は底泥を連続体とし底泥の変形により限界剪断力が増加するとしたものである。本報告では、既存のモデルにおける降伏値に加えて有効応力に比例する力がさらに底泥の剪断運動に抗する力として存在するとしたモデルについて検討する。前報同様、本報告においても自重圧密による底泥の固体分率の増加は無視し得るととしている。

2. 底泥の巻き上げモデル

底泥を流水下で巻き上げると流れが与えられてから10~30分間の急速な巻き上げ(急速巻き上げ期)の後、巻き上げが1時間のスケールでは無視し得る緩やかな巻き上げ(緩速巻き上げ期)へと移行する。円形回転水路において粘土分30%、残りはシルト分の泥を用いた巻き上げ実験結果の例を図-1に示す。この図から急速巻き上げ期の継続時間 T 、剪断応力を τ 、巻き上げ限界剪断応力を τ_c 、ビンガム流体としての塑性粘度を μ_p (後述の式(3)における $\beta = 0.15$ としたもの)を用いた無次元化式がおおよそ、

$$\frac{\tau - \tau_c}{\mu_p} = 14000 \quad (1)$$

となることから、急速巻き上げ期間長は底泥の流動特性に依存している

ことが解る。図-1の含水比400%の場合の巻き上げ2時間後の残存底泥の固体分率分布を図-2に示す。固体分率の増加状態が剪断応力が大きいほど大きくになっていることから急速巻き上げ期は底泥表層の固体分率の増加とともに強度の増加により終了すると考えられる。このような実験事実に基づいて、想定される巻き上げ機構のモデルは次の仮定に基づいて以下のよう導びかれる。**仮定①**底泥と上層水の界面における応力変動は平均剪断応力を較べて無視できる、**②**底泥は連続体でありビンガム流体の性質を示す、**③**底泥の圧密沈降は無視しえる、**④**底泥の巻き上げ過程は水平方向に一様である、**⑤**底泥の降伏値は底泥の歪速度の絶対値の時間積分値に比例して増加する、**⑥**塑性粘度 μ_p は降伏値に比例する、**⑦**底泥には降伏値の他に有効応力 σ'_e に比例する(比例定数 α)水平方向の力が剪断に抗する力として剪断に際して現われる、**⑧**底泥の降伏値と巻き上げ限界剪断力 τ_c とは相等しい。以上の仮定に基づく底泥の運動方程式、構成方程式は次を鉛直上向き正として

$$\frac{\partial \sigma}{\partial z} = 0 \quad (2)$$

$$\tau = -\mu_p \frac{\partial \epsilon}{\partial z} - (\tau_c + \sigma'_e) \quad (3)$$

SHEAR STRESS N/m ²	WATER % CONTENT
0.30	300
0.40	
0.50	
0.25	365
0.30	
0.40	
0.20	400
0.25	
0.30	
0.40	

図-1 円形回転水路における底泥の巻き上げ実験結果

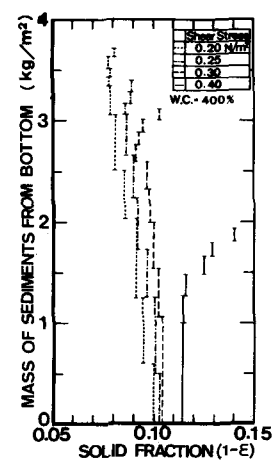
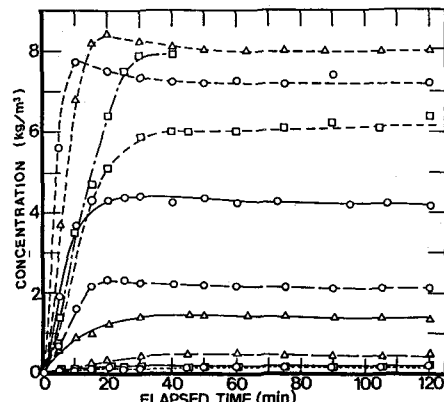


図-2 残存底泥の固体分率分布

$$\mu = \tau_0 / \beta$$

$$\tau_y = \int_0^t \left| \frac{du}{dx} \right| dt + \tau_{y0} \quad (5)$$

$$\tau_c = \tau_y \quad (6)$$

ここに、 τ_0 : 初期の降伏値、 β : 定数($\rightarrow 0.1 \text{ sec}^{-1}$)³, μ : 定数である。そして図-2に与えられてる残存底泥の表層部の固体分率分布が定常状態に達しているものとして、 $\tau_c + \tau_y + \mu \beta t = 0$ を解くと $t = 0.02$ となる。固体分率 τ との関係は、図-2における底泥表層部の固体分率と剪断応力の関係から

$$\tau_c = 4.14(1-\varepsilon)^{1.2} \text{ N/m}^2 \quad (7)$$

が得られる。底泥の初期巻き上げ速度 $E_{t=0}$ は、

$$E_{t=0} = \lambda (\tau_c - 1)^n \quad (8)$$

で与えられる。底泥の初期巻き上げ速度 $E_{t=0}$ は、

3. シミュレーション結果

式(2)～(6)を直接解くことは困難なので差分化し、時間に関して Crank-Nicholson 法に基づいて数值計算を行なった。計算に際しては空間座標 x を質量座標 $w (= \frac{x}{L_s(1-\varepsilon)})$ に変換した。計算条件は、 $\Delta t = 1 \text{ sec}$, $\Delta w = 0.1 \text{ kg/m}^3$, $\beta = 0.02$, $P_s = 2.6 \text{ kg/m}^3$ とした。式(7)の変換式は、巻き上げ限界剪断力を τ_c とすれば一致しないため、式(6)を含めて実験による決定を必要とする。シミュレーション結果の一例として剪断応力 0.3 N/m^2 , 含水比 400% の実験に相当するものを図-3に示す。初期固体分率は巻き上げ速度を合せるため含水比 400% から求められるものではなく式(7), (8)から逆算される値を使用した。その値は $1-\varepsilon = 0.05$ であった。いずれの場合もかが大きくなる時間的に早く緩速巻き上げ期に入る。この例の場合、 $\mu = 0.0011 \text{ N/m}^2$ のとき巻き上げ開始後 10 分前後のところでの巻き上げ量が小さ目になっているが、緩速巻き上げ期に入ったときの巻き上げ量はほぼ一致している。このときの固体分率の変化と巻き上げ量の変化を図-4に示す。固体分率が変化する泥厚はより規定され本例では表面から 0.89 kg/m^2 の深さまで及ぶ。固体分率の変化は直線的にはっているが、図-2 の実験結果によれば表面に近づくにつれて固体分率の増加割合が大きくなっている。この点に関してはモデルの考え方を改める必要がある。図-5 に表層におけるずれ量と降伏値の変化を示す。ずれ量は 1 時間で 13 cm 程度となるが、この値は実験にて得られたものより 2 倍近く大きいと推定される。降伏値の増加率は時間とともに減少するが、その値が剪断応力に近づくにつれて、巻き上げ速度の減少の方が速く、表層の固体分率の增加も止み進む結果となる。今後、粒状体物質の流动過程、自重応力の影響等検討を重ねていく予定である。本研究は文部省科学研究費一般(C)の補助を受けたものである。

参考文献

- 1) Kusuda, T. et al : Erosional Process of Cohesive Sediments, Proc. 12th IAHR Conference, pp.891-903, 1984.
- 2) 二渡了他: 円形回転水路とその流況特性, 立川大河工学集報, Vol. 57, No. 4, pp. 431-435, 1984.
- 3) 山下三平他: 高濃度凝集性懸濁液のロジック特性, 昭和59年度土木学会西部支部研究発表会講演概要集, 1985.

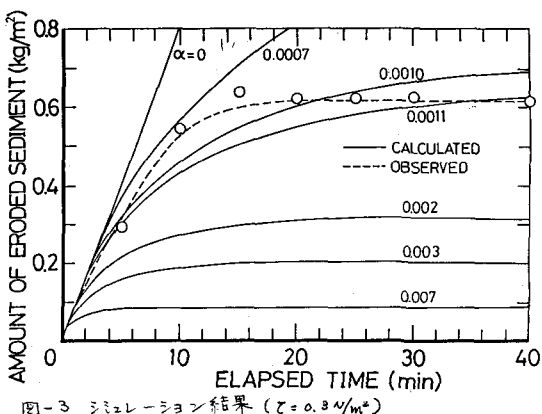


図-3 シミュレーション結果 ($\varepsilon = 0.3 \text{ N/m}^2$)

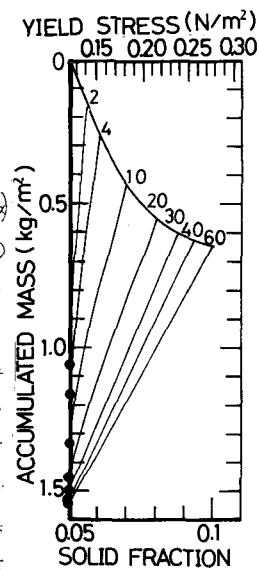


図-4 計算による固体分率の変化

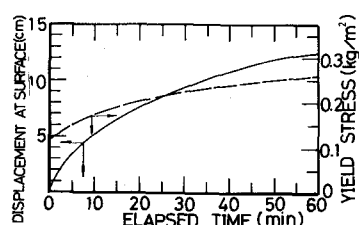


図-5 計算によるずれ量と降伏値